

ОБОБЩЕННАЯ МАТЕМАТИЧЕСКАЯ МОДЕЛЬ ОТБОЙНОГО МОЛОТА С РАЗДЕЛЯЮЩИМСЯ ПОЛЗУНОМ С ВОЗДУШНОЙ ПОДУШКОЙ

Джуматаев М.С., Баялиев А.Ж.

Институт машиноведения НАН КР, г.Бишкек, Кыргызстан

Данная работа посвящена к составлению математической модели отбойного молота с разделяющимся ползуном с воздушной подушкой.

This work is devoted to the compilation of a mathematical model of a pneumatic hammer with a separable slide hovercraft.

В Институте машиноведения НАН КР было предложено использовать в ударных машинах кривошипно-ползунный механизм с разделяющимся ползуном.

Силовая трансмиссия отбойного молота состоит из гидропривода, механических систем, обеспечивающих передачу движения к ДКП МПС. Кинематическая схема отбойного молота с разделяющимся ползуном с воздушной подушкой представлена на рисунке 1. Она состоит из гидродвигателя 1, цилиндрических зубчатых колес 2, 3, маховик-кривошипа 4, шатуна 5, поводка 6 с ползун- бойка 7 и инструмента 8.

При моделировании ударных машин с разделяющимся ползуном с воздушной подушкой воспользуемся модульным принципом, предложенным С. Н. Кожевниковым. Согласно этому принципу составляются динамические модели отдельных элементов конструкции машины и затем соединяются согласно кинематической схеме. При построении обобщенной модели силовой трансмиссии необходимо составить динамические модели составляющих ее элементов.

После составления моделей каждого узла и элементов конструкции машины составляется её обобщенная модель. Силовая трансмиссия может быть представлена совокупностью связанных между собой дискретных элементов, которые двигаются с различными скоростями, т.е. между элементами существуют определенные передаточные отношения. Инерционные свойства элементов динамической расчетной схемы силовой трансмиссии отбойного молота определяются инерционными характеристиками валов, зубчатых колес и вращающейся части гидродвигателя. Момент инерции гидромотора принимался из его паспортных характеристик. Крутильные жесткости валов, соединений вал – ступица, зубчатых передач располагаются в расчетной схеме между соответствующими элементами расчетной схемы. В результате динамическая расчетная схема силовой трансмиссии отбойного молота может быть представлена в виде схемы приведенной на рисунке 2. Инерционные массы пунктирными линиями соответствуют невесомым зубчатым колесам, которые осуществляют кинематическую связь в системе [4].

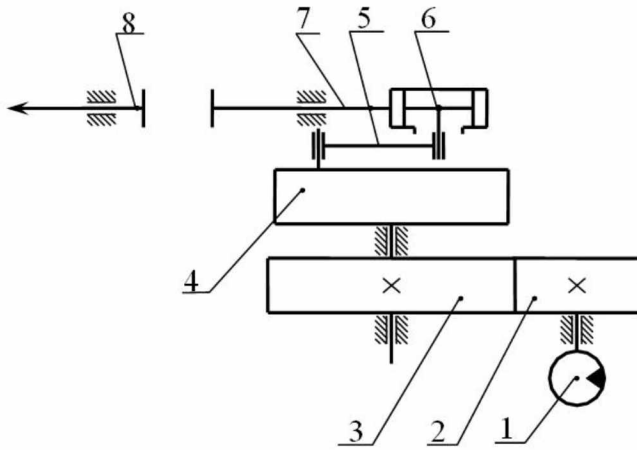


Рис. 1. Кинематическая схема отбойного молота с разделяющимся ползуном с воздушной подушкой.

- 1 – гидродвигатель;
- 2 – шестерня;
- 3 – зубчатое колесо;
- 4 – маховик-кривошип;
- 5 – шатун;
- 6 – поводок;
- 7 – ползун-боек;
- 8 – инструмент.

Для упрощения процесса составления уравнений системы все упругие и инерционные характеристики приводятся к валу двигателя с учетом передаточных отношений зубчатых передач. По методике изложенной [4]

эквивалентные жесткости между массами, передаточное отношение и моменты инерции звеньев, приведены к валу двигателя по формулам:

$$c_1 = \frac{c_{шл} \cdot c_{B1}}{c_{шл} + c_{B1}}; c_4 = \frac{c_{ш2} \cdot c_{B2} / 2}{c_{ш2} + c_{B2} / 2}; c_5 = \frac{c_{ш2} \cdot c_{B2} / 2}{c_{ш2} + c_{B2} / 2};$$

$$u_{21} = \frac{d_1}{d_2}; \tag{1.1}$$

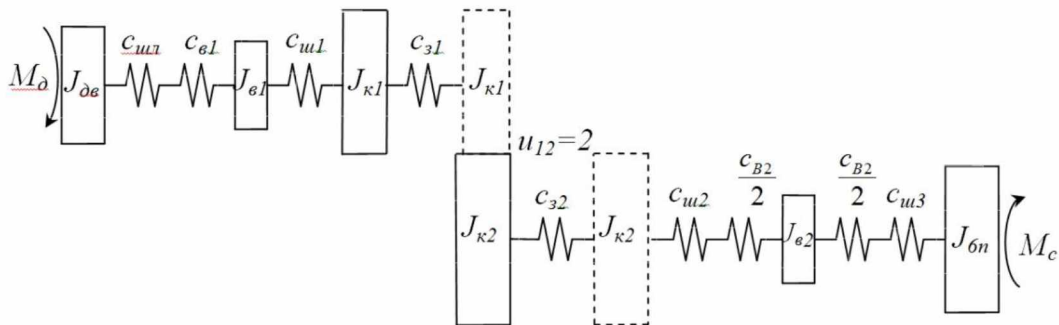


Рис. 2. Динамическая расчетная схема силовой трансмиссии отбойного молота.

$$J_4 = J_{к2} \cdot u_{21}^2; J_5 = J_{B2} \cdot u_{21}^2; J_{6n} = (J_{M1} \cdot u_{21}^2) + J_n;$$

Тогда расчетная схема отбойного молота на основе МПС примет вид, показанной на рисунке 3. Это шестимассовая система, число ее подвижных масс определено числом подвижных деталей в трансмиссии. Полученные при этом

значения приведенных моментов инерции и коэффициенты жесткостей указаны в таблице 1.

Дифференциальные уравнения движения трансмиссии отбойного молота имеют следующий вид:

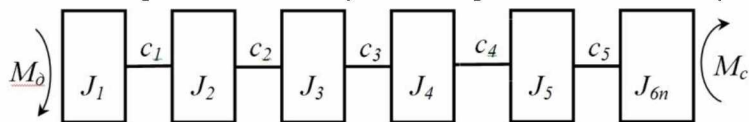


Рис. 3. Динамическая расчетная схема отбойного молота.

$$\begin{cases} J_1 \ddot{\varphi}_1 = -c_1(\varphi_1 - \varphi_2) + M_\delta \\ J_2 \ddot{\varphi}_2 = c_1(\varphi_1 - \varphi_2) - c_2(\varphi_2 - \varphi_3) \\ J_3 \ddot{\varphi}_3 = c_2(\varphi_2 - \varphi_3) - c_3(\varphi_3 - \varphi_4) \\ J_4 \ddot{\varphi}_4 = c_3(\varphi_3 - \varphi_4) - c_4(\varphi_4 - \varphi_5) \\ J_5 \ddot{\varphi}_5 = c_4(\varphi_4 - \varphi_5) - c_5(\varphi_5 - \varphi_6) \\ J_{6n} \ddot{\varphi}_6 = c_5(\varphi_5 - \varphi_6) - \frac{\dot{\varphi}_6^2}{2} \cdot \frac{dJ_{6n}}{d\varphi_6} - M_c \end{cases} \tag{1.2}$$

где J_1, J_2, J_3, J_4, J_5 - моменты инерции двигателя 1, вала 2, зубчатой шестерни 3, зубчатого колеса 4, вала 6; $\varphi_1, \varphi_2, \varphi_3, \varphi_4, \varphi_5, \varphi_6$ - углы поворота соответствующих масс; $J_{6л}$ - момент инерции приведенное к маховику 8;

$\frac{dJ_{6л}}{d\varphi_6}$ - составляющие, характеризующие

изменение инерционных свойств механизма в зависимости от положения кривошипа; M_d - вращающий момент двигателя; M_c - момент сопротивления со стороны обрабатываемой среды.

Таблица 1 – Моменты инерции и коэффициенты жесткостей элементов трансмиссии

Моменты инерции J кгм ²		Коэффициенты жесткостей Нм	
$J_1 = J_{дв}$	$2,29 \cdot 10^{-4}$	c_1	$3,33 \cdot 10^4$
J_2	$3,8 \cdot 10^{-4}$	c_2	$4,687 \cdot 10^4$
J_3	$18,3 \cdot 10^{-4}$	c_3	$126,765 \cdot 10^4$
J_4	$80,4 \cdot 10^{-4}$	c_4	$2,67 \cdot 10^4$
J_5	$1,35 \cdot 10^{-4}$	c_5	$2,02 \cdot 10^4$
$J_{6л}$	$61,73 \cdot 10^{-4} + J_{л}$		

Инерционные свойства исполнительного механизма

Передаточное отношение от ползуна к кривошипу является переменной величиной,

поэтому приведенный к маховику момент инерции имеет следующий вид:

$$J_i = J_m + J_{сш} \left(\frac{\omega_o}{\omega_m} \right)^2 + m_o \left(\frac{v_s}{\omega_m} \right)^2 + m_n \left(\frac{v_n}{\omega_m} \right)^2 \quad (1.3)$$

где J_m - момент инерции маховика; $J_{сш}$ - момент инерции шатуна относительно центра масс; ω_m - угловая скорость звена приведения (маховика); $\omega_{ш}$ - относительная угловая скорость шатуна; $m_{ш}$ - масса шатуна; m_l - масса ползун-бойка v_s - линейная скорость центра масс шатуна; v_n - линейная скорость центра масс ползун-бойка. Отсюда момент инерции шатуна относительно центра масс определяется как

Чтобы определить угловую скорость шатуна найдем мгновенный центр скорости. Кинематическая схема исполнительного органа показана на рисунке 4. Как известно мгновенный центр скорости находится на пересечении перпендикуляров скоростей точек A и B . Отрезок O_1A определяется из треугольника AB_1O
 $O_1A = \frac{AB_1}{\cos \varphi}$

$$J_{сш} = \frac{m_{ш} l_{ш}^2}{12} \quad (1.4)$$

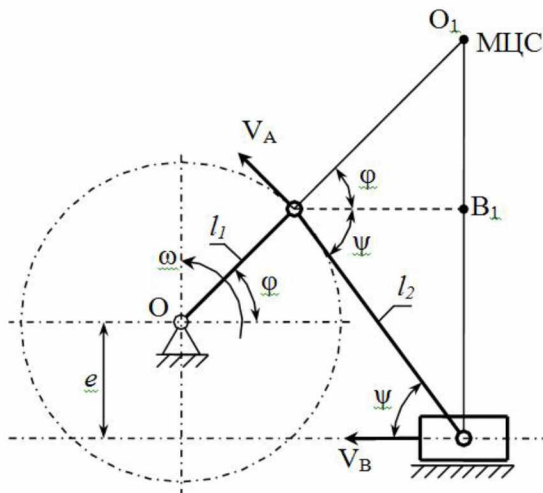


Рис. 4. К определению момента инерции исполнительного органа.

где $AB_1 = l_2 \cdot \cos \psi$, Зная, что $\cos \psi = \sqrt{1 - \sin^2 \psi}$
 $e + l_1 \cdot \sin \varphi = l_2 \cdot \sin \psi$,
 $\sin \psi = \frac{e + l_1 \cdot \sin \varphi}{l_2}$

Тогда $AB_1 = l_2 \cdot \sqrt{1 - \frac{(e + l_1 \cdot \sin \varphi)^2}{l_2^2}} = \sqrt{l_2^2 - (e + l_1 \cdot \sin \varphi)^2}$

Окончательно имеем: $O_1A = \frac{\sqrt{l_2^2 - (e + l_1 \cdot \sin \varphi)^2}}{\cos \varphi}$

Теперь, зная, что точка A принадлежит как кривошипу так и шатуну, имеем:

$$V_A = \omega_1 \cdot l_{OA} = AO_1 \cdot \omega_{uu}; \text{ Откуда } \omega_{uu} = \frac{V_A}{AO_1} = \frac{V_A \cdot \cos \varphi}{\sqrt{l_2^2 - (e + l_1 \cdot \sin \varphi)^2}}.$$

Линейная скорость центра тяжести шатуна определяется по формуле:

$$V_S = \sqrt{\dot{X}_S^2 + \dot{Y}_S^2} \quad (1.5)$$

где X_S, Y_S – координаты центра тяжести шатуна.

$$X_S = l_1 \cdot \cos \varphi + \frac{l_2}{2} \cdot \cos \psi = l_1 \cdot \cos \varphi + \frac{l_2}{2} \sqrt{l_2^2 - (e + l_1 \cdot \sin \varphi)^2} \quad Y_S = \frac{l_2}{2} \cdot \sin \psi = \frac{e + l_1 \cdot \sin \varphi}{2}$$

$$\dot{X}_S = \left[-l_1 \cdot \sin \varphi - \frac{l_2 \cdot l_1 \cos \varphi \cdot (e + l_1 \cdot \sin \varphi)}{2 \cdot \sqrt{l_2^2 - (e + l_1 \cdot \sin \varphi)^2}} \right] \omega_1 \quad (1.6)$$

$$\dot{Y}_S = \left[\frac{l_1 \cdot \cos \varphi}{2} \right] \omega_1 \quad (1.7)$$

Подставив выражения (1.3) и (1.4) в (1.2) находим линейную скорость центра тяжести шатуна.

$$V_S^2 = \sqrt{\left(\frac{l_1^2 \cdot \cos^2 \varphi}{4} \right) \cdot \omega_1^2 + \left(l_1^2 \cdot \sin^2 \varphi + \frac{l_2^2 \cdot l_1^2 \cos^2 \varphi \cdot (e + l_1 \cdot \sin \varphi)^2}{4 \cdot (l_2^2 - (e + l_1 \cdot \sin \varphi)^2)} \right) \cdot \omega_1^2} \quad (1.8)$$

Скорость поршня определяется по формуле:

$$V_n = \left[-l_1 \cdot \sin \varphi + \frac{l_1 \cos \varphi \cdot (e + l_1 \cdot \sin \varphi)}{\sqrt{l_2^2 - (e + l_1 \cdot \sin \varphi)^2}} \right] \omega_1 \quad (1.9)$$

С учетом зависимостей (1.4 - 1.9) выражение приведенного момента инерции (1.3) примет вид

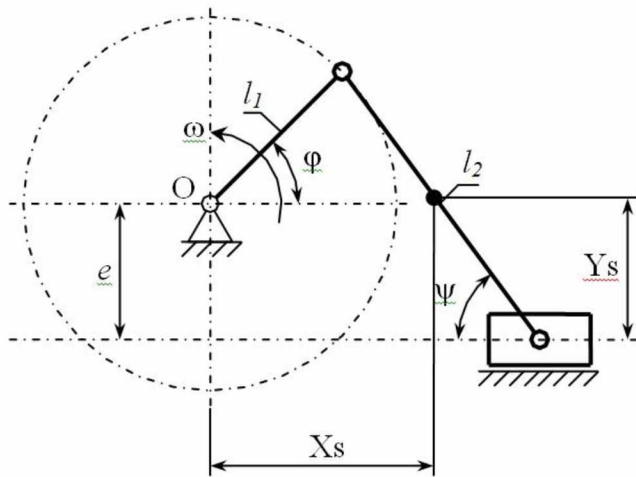


Рис. 5.
К определению линейных скоростей центра тяжести шатуна.

$$\begin{aligned} J_n = & J_m + J_{su} \frac{l_1^2 \cdot \cos^2 \varphi}{l_2^2 - (e + l_1 \sin \varphi)^2} + \\ & + m_{uu} l_1^2 \sin^2 \varphi + m_{uu} \left(l_1 \sin \varphi \cdot \frac{l_1 l_2 \cos \varphi (e + l_1 \sin \varphi)}{\sqrt{l_2^2 - (e + l_1 \sin \varphi)^2}} \right) + \\ & + m_{uu} \frac{l_1^2 l_2^2 \cos^2 \varphi (e + l_1 \sin \varphi)^2}{4(l_2^2 - (e + l_1 \sin \varphi)^2)} + m_{uu} \frac{l_1^2 \cdot \cos^2 \varphi}{4} + m_n l_1^2 \sin^2 \varphi + \\ & + 2m_n \left(l_1 \sin \varphi \frac{l_1 \cos \varphi (e + l_1 \sin \varphi)}{\sqrt{l_2^2 - (e + l_1 \sin \varphi)^2}} \right) + m_n \frac{l_1^2 \cdot \cos^2 \varphi \cdot (e + l_1 \sin \varphi)^2}{l_2^2 - (e + l_1 \sin \varphi)^2}. \end{aligned} \quad (1.10)$$

Расчет уравнений движения (1.2) осуществляется методом Рунге – Кутты. Для этого систему уравнений представим в виде двенадцати уравнений первого порядка.

$$\left\{ \begin{array}{l} \dot{y}_0 = y_5, \dot{y}_1 = y_6, \dot{y}_2 = y_7, \dot{y}_3 = y_8, \dot{y}_4 = y_9, \dot{y}_5 = y_{10} \\ \dot{y}_6 = \frac{M_\phi}{J_1} - \frac{c_1}{J_1}(\varphi_1 - \varphi_2), \quad \dot{y}_7 = \frac{c_1}{J_2}(\varphi_1 - \varphi_2) - \frac{c_2}{J_2}(\varphi_2 - \varphi_3) \\ \dot{y}_8 = \frac{c_2}{J_3}(\varphi_2 - \varphi_3) - \frac{c_3}{J_3}(\varphi_3 - \varphi_4), \quad \dot{y}_9 = \frac{c_3}{J_4}(\varphi_3 - \varphi_4) - \frac{c_4}{J_4}(\varphi_4 - \varphi_5) \\ \dot{y}_{10} = \frac{c_4}{J_5}(\varphi_4 - \varphi_5) - \frac{c_5}{J_5}(\varphi_5 - \varphi_6), \quad \dot{y}_{11} = \frac{c_5}{J_{6n}}(\varphi_5 - \varphi_6) - \frac{\dot{\varphi}_6^2}{2J_{6n}} \cdot \frac{dJ_{6n}}{d\varphi_6} - \frac{M_c}{J_{6n}} \end{array} \right. \quad (1.11)$$

Решения уравнений первого порядка (1.11) для исследований динамики машины производится в математической среде MathCAD использованием функции rkfixed (y_0, t_0, t_1, N, F), с постоянным шагом решения, где y_0 – матрица начальных условий, t_0, t_1 – начальное и конечное время периода движения N – количество шагов, F – матрица с системой уравнений [5].

Литература:

1. Джуматаев М.С., Каримбаев Т.Т., Уркунов З.А., Баялиев А.Ж. Двухкривошипно – ползунный ударный механизм с воздушной подушкой. Сб. научных трудов Института машиноведения, вып.5, Бишкек, Илим. 2006, С.20-25.
2. Джуматаев М.С., Уркунов З.А., Баялиев А.Ж. Молот с воздушной подушкой. Сб. научных

трудов Института машиноведения, вып.6, Бишкек, Илим. 2008, С.65-70.

3. Еремьянц В.Э. Приближенный метод оценки динамических характеристик кривошипно – коромысловых ударных механизмов с гидроприводом. //Новые наукоемкие технологии и технологические оборудование. – Бишкек. 2002, С.74 – 83.

4. Еремьянц В.Э. Построение и анализ динамических моделей механизмов./ Учебно – методическое пособие. Бишкек, 2001, КРСУ– 51 с.

5. MathCAD User’s Guide MathCAD 6.0 PLUS Финансовые, инженерные и научные расчеты в среде Windows 95. М.: Филинь, 1995. – 697 с.